

А. С. ВОЛЬМИР, А. Т. ПОНОМАРЕВ

**УСТОЙЧИВОСТЬ ЦИЛИНДРИЧЕСКИХ ОБОЛОЧЕК
ПРИ ТЕПЛОВОМ УДАРЕ**

(Представлено академиком Ю. Н. Работновым 21 XI 1969)

Пусть тонкая круговая цилиндрическая оболочка конечной длины подвергается действию осесимметричного теплового импульса в некоторой зоне, расположенной у одного из торцов.

При распространении теплового потока вдоль конструкции часть длины оболочки будет подвергаться динамическому сжатию. Особенно сильным этот эффект будет в случае теплового удара. При известных условиях в сжатой зоне оболочки наступит выщупывание, сопровождающееся прощелкиванием; это явление является опасным для конструкции. Для описания поведения оболочки в основных уравнениях необходимо учесть силы инерции, соответствующие не только прогибу, но и перемещениям в срединной поверхности. Так как подобная задача оказывается весьма сложной, будем условно считать, что изменение термоупругой деформации по длине оболочки не зависит от прогиба и определяется из решения соответствующей одномерной задачи ⁽¹⁾. Что же касается явления выщупывания, то примем, что образующиеся при этом прогибы сравнимы с толщиной оболочки и находятся из решения геометрически нелинейной задачи.

Выпишем систему дифференциальных уравнений, описывающих перемещения точек срединной поверхности вдоль длины оболочки ⁽¹⁾

$$\theta_{,t} - \kappa \theta_{,xx} + \beta' u_{,xt} = 0, \quad (1)$$

$$u_{,xx} - \frac{1}{c^2} u_{,tt} - \alpha \theta_{,x} = 0 \quad (2)$$

и большие прогибы ⁽²⁾

$$\frac{D}{h} \nabla^2 \nabla^2 (w - w_0) = L(w, \Phi) + \frac{1}{R} \Phi_{,xx} - \frac{\gamma}{g} w_{,tt}, \quad (3)$$

$$\frac{1}{E} \nabla^2 \nabla^2 \Phi = - \frac{1}{2} [L(w, w) - L(w_0, w_0)] - \frac{1}{R} (w - w_0)_{,xx}. \quad (4)$$

Здесь θ — температура; κ — коэффициент теплопроводности; β' — коэффициент, учитывающий обратный эффект упругой деформации; x, y — координаты, отсчитываемые вдоль образующей и по дуге; t — время; u — перемещения точек срединной поверхности вдоль оси; α — коэффициент линейного расширения; c — скорость распространения продольной упругой волны в материале; w — полный прогиб; w_0 — начальный прогиб; Φ — функция напряжений в срединной поверхности; R — радиус кривизны срединной поверхности; h — толщина оболочки; D — цилиндрическая жесткость; γ — удельный вес материала. Индексы после запятой обозначают дифференцирование по соответствующей переменной; ∇^2 — оператор Лапласа; L — известный билинейный оператор.

Примем, что оболочка обладает начальной погибью. Полный и начальный прогибы аппроксимируем с помощью выражения типа $w = f(\sin \alpha_0 x \sin \beta_0 y + \psi \sin^2 \alpha_0 x + \varphi)$, $\alpha_0 = m\pi/l$; $\beta_0 = n/R$; m — число полуволн вдоль образующей оболочки; n — число волн по окружности; l — длина оболочки. Подставим это выражение в правую часть уравнения (4) и

после интегрирования найдем функцию Φ . При этом в выражение для Φ входит член $(-py^2/2)$, где $p = p(t)$ — интенсивность сжимающих усилий в выбранном сечении оболочки, определяемая по формуле $p = E(\partial u / \partial x - \alpha\theta)$. Для нахождения зависимости между параметрами прогиба оболочки и изменяющимися во времени сжимающими усилиями воспользуемся применительно к уравнению (3) методом Бубнова — Галёркина. В результате приходим к нелинейному обыкновенному дифференциальному уравнению второго порядка относительно стрелы прогиба f .

Будем исследовать случай, когда происходит резкий местный нагрев одного из торцов оболочки; остальную поверхность примем теплоизолированной. Решение задачи сводится к интегрированию следующей системы разрешающих уравнений:

$$\theta_{,\tau}^* - d\theta_{,x^*x^*}^* + \alpha\beta' u_{,x^*\tau}^* = 0, \quad (5)$$

$$u_{,x^*x^*}^* - u_{,\tau\tau}^* - \theta_{,x^*}^* = 0, \quad (6)$$

$$\begin{aligned} \zeta_{,\tau\tau} - s \left\{ p^* - \frac{1}{16} \frac{(1+\rho^2)}{\rho^2} \eta (\zeta^2 - \zeta_0^2) \right\} \zeta - \frac{1}{12(1-\mu)} \frac{(1+\rho^2)^2}{\rho^2} \eta (\zeta + \zeta_0) - \\ - \psi^2 \eta \rho^2 \zeta (\zeta^2 - \zeta_0^2) \left[\frac{1}{(1+\rho^2)^2} + \frac{1}{(1+9\rho^2)^2} \right] + \frac{1}{4\rho^2} \psi \zeta (\zeta - \zeta_0) \left[1 + \frac{4\rho^2}{(1+\rho^2)^2} \right] + \\ + \psi \frac{\rho^2}{(1+\rho^2)^2} (\zeta^2 - \zeta_0^2) - \frac{\rho^2}{\eta(1+\rho^2)^2} (\zeta - \zeta_0) \} = 0. \quad (7) \end{aligned}$$

Здесь введены безразмерные параметры: $x^* = x/l$, $\tau = tc/l$, $\theta^* = \theta\alpha$, $u^* = a/l$, $v^* = v/i$, $d = \kappa/cl$, $\lambda = l/i$, $p^* = pR/Eh$, $\zeta = f/h$, $\zeta_0 = f_0/h$, $\eta = n^2h/R$, $\rho = mlR/nl$, $s = (l/R)^2 \eta \rho^2$, где $i = R/\sqrt{2}$ — радиус инерции сечения оболочки, λ — общая гибкость конструкции. Значение ψ условно принимаем по решению статической задачи для идеальной оболочки.

Решение уравнений (5) и (6) было получено в замкнутой форме последовательным применением к ним интегральных преобразований Фурье и Лапласа при следующих граничных и начальных условиях:

$$\theta_{,x^*}^* = u^* = 0 \text{ при } x^* = 0 \text{ и } x^* = 1;$$

$$u^* = u_{,\tau}^* = 0; \quad \theta^* = \frac{Qg}{c_v \gamma} \delta(x^*) \text{ для } \tau = 0,$$

где Q — количество подведенной тепловой энергии; c_v — удельная теплоемкость материала; $\delta(x^*)$ — функция Дирака.

Уравнение (7) было проинтегрировано методом Рунге — Кутты с помощью цифровой машины БЭСМ-2М, исходя из начальных условий $\zeta - \zeta_0 = \zeta_{,\tau} = 0$.

В процессе решения задачи определялись коэффициент динамичности, представляющий собой отношение величины максимального сжимающего усилия к верхнему критическому значению $p^*/p_{в}^*$, и число волн, при котором наступает бурный процесс выпучивания.

Результаты вычислений представлены на рис. 1 в виде кривых, характеризующих темп нарастания прогиба ζ в оболочке в сечении $x = l/2$ в зависимости от безразмерного времени τ для различных параметров теплового импульса θ . Они относятся к оболочке с отношением $R/h = 300$, амплитудой начальной погиби $\zeta_0 = 0,001$ и параметром волнообразования $\rho = 3$; $L/R = 3,75$. В качестве критического времени условно принимался момент $\tau_{кр}$, соответствующий фронту бурного нарастания прогибов. Как видим, в случае $\theta = 5$ наиболее вероятная форма выпучивания оболочки соответствует числу волн $n = 54$, причем критический параметр времени равен $\tau \approx 0,09$; аналогичные результаты приведены на графике для значений $\theta = 1$ и $\theta = 0,3$.

Таким образом, в данной работе предлагается математическая модель для описания процесса выпучивания цилиндрической оболочки при теп-

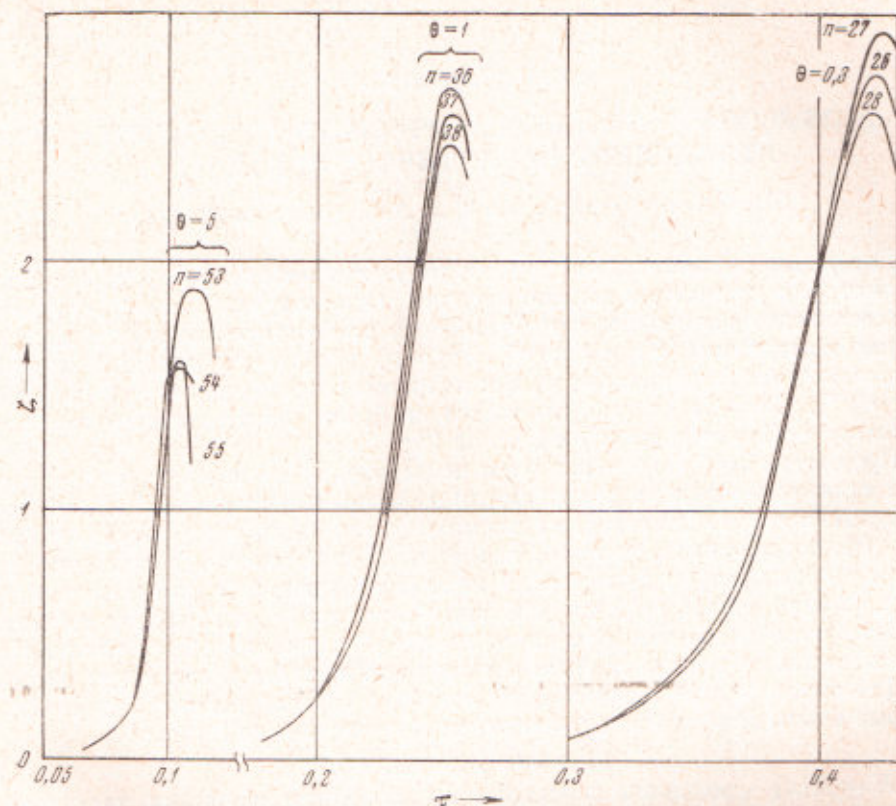


Рис. 1

ловом ударе. Вычисления показали, что эффект динамичности особенно резко сказывается для более тонких оболочек, при значительном отношении R/h .

Военно-воздушная инженерная академия
им. Н. Е. Жуковского
Москва

Поступило
3 X 1 1969

ЦИТИРОВАННАЯ ЛИТЕРАТУРА

- ¹ А. С. Вольмир, Устойчивость деформируемых систем, «Наука», М., 1967.
² I. N. Sneddon, Proc. Roy. Soc. Edinburgh, A65, 2 (1959).